

FEM für Dynamik

Kapitel 5: Modale Superposition

Prof. Dr.-Ing. Thomas Grätsch

Department Maschinenbau und Produktion
Fakultät Technik und Informatik
Hochschule für Angewandte Wissenschaften Hamburg

Einführung

Bewegungsgleichung:

$$\mathbf{M}\ddot{\mathbf{U}}(t) + \mathbf{C}\dot{\mathbf{U}}(t) + \mathbf{K}\mathbf{U}(t) = \mathbf{F}(t) \quad (1)$$

Lösungsstrategien:

- Lösung im **Frequenzbereich**: sinnvoll bei harmonischer Erregung
- Lösung im **Zeitbereich**: sinnvoll bei beliebiger Anregung

direkte Lösung:

- Integration im physikalischen Bereich (explizit oder implizit)
- Lineare/nichtlineare Systeme
- aufwendig bei großen Matrizen

modale Lösung:

- Transformation auf modale Koordinaten
- nur für lineare Systeme
- weniger aufwendig

Modale Bewegungsgleichung

Ansatz für Verschiebung im Zeitbereich:

$$\mathbf{U}(t) = \boldsymbol{\phi} \mathbf{q}(t) = \sum_r \mathbf{X}_r q_r(t) \quad (2)$$

$$\dot{\mathbf{U}}(t) = \boldsymbol{\phi} \dot{\mathbf{q}}(t) \quad (3)$$

$$\ddot{\mathbf{U}}(t) = \boldsymbol{\phi} \ddot{\mathbf{q}}(t) \quad (4)$$

Hierbei gilt:

\mathbf{X}_r = ungedämpfte Eigenform

q_r = modale Freiheitsgrade (Wichtungsfaktoren für die Eigenformen)

$r = 1, \dots, R \leq N$ (Anzahl DOF)

Interpretation

Systemantworten $\mathbf{U}(t)$, $\dot{\mathbf{U}}(t)$, $\ddot{\mathbf{U}}(t)$ werden durch Superposition der ungedämpften Eigenformen dargestellt.

Modale Bewegungsgleichung

Die Transformation in Gl. (2) ist

- *vollständig*, wenn $R = N$
- *unvollständig*, wenn $R < N$

Empfehlung für die Praxis

Anteil höherer Eigenformen ist oftmals vernachlässigbar, daher:
→ Mitnahme aller relevanten Eigenformen, so dass ca. 90% der zugehörigen effektiven Massen im Ansatz enthalten sind.

Modale Bewegungsgleichung

Einsetzen von Gl. (2)-(4) in Gl. (1) liefert:

$$\mathbf{M}\phi\ddot{\mathbf{q}}(t) + \mathbf{C}\phi\dot{\mathbf{q}}(t) + \mathbf{K}\phi\mathbf{q}(t) = \mathbf{F}(t) \quad (5)$$

Multiplikation von links mit ϕ^T liefert:

$$\underbrace{\phi^T \mathbf{M} \phi}_{\mu = \text{diag}(\mu_{rr})} \ddot{\mathbf{q}}(t) + \underbrace{\phi^T \mathbf{C} \phi}_{\Delta \neq \text{diag}} \dot{\mathbf{q}}(t) + \underbrace{\phi^T \mathbf{K} \phi}_{\gamma = \text{diag}(\gamma_{rr})} \mathbf{q}(t) = \phi^T \mathbf{F}(t) =: \mathbf{r}(t) \quad (6)$$

Somit folgt die modale Bewegungsgleichung:

$$\mu\ddot{\mathbf{q}}(t) + \Delta\dot{\mathbf{q}}(t) + \gamma\mathbf{q}(t) = \mathbf{r}(t) \quad (7)$$

mit der modalen Dämpfungsmatrix $\Delta := \phi^T \mathbf{C} \phi \neq \text{diag}$

Modale Bewegungsgleichung

Gl. (7) lautet ausgeschrieben:

$$\begin{bmatrix} \mu_1 & 0 & \cdots & 0 \\ 0 & \mu_2 & & \vdots \\ \vdots & & \ddots & 0 \\ 0 & \cdots & 0 & \mu_R \end{bmatrix} \cdot \begin{bmatrix} \ddot{q}_1 \\ \ddot{q}_2 \\ \vdots \\ \ddot{q}_R \end{bmatrix} + \begin{bmatrix} \Delta_{11} & \Delta_{12} & \cdots & \Delta_{1R} \\ \Delta_{21} & \Delta_{22} & & \vdots \\ \vdots & & \ddots & \vdots \\ \Delta_{R1} & \cdots & \cdots & \Delta_{RR} \end{bmatrix} \cdot \begin{bmatrix} \dot{q}_1 \\ \dot{q}_2 \\ \vdots \\ \dot{q}_R \end{bmatrix} + \begin{bmatrix} \gamma_1 & 0 & \cdots & 0 \\ 0 & \gamma_2 & & \vdots \\ \vdots & & \ddots & 0 \\ 0 & \cdots & 0 & \gamma_R \end{bmatrix} \cdot \begin{bmatrix} q_1 \\ q_2 \\ \vdots \\ q_R \end{bmatrix} = \begin{bmatrix} r_1 \\ r_2 \\ \vdots \\ r_R \end{bmatrix}$$

Einführen der *Bequemlichkeitshypothese* (d.h. keine Dämpfungkopplung)

$$\Delta_{rs} = 0 \quad \text{für } r \neq s \quad (8)$$

liefert

$$\begin{bmatrix} \mu_1 & 0 & \cdots & 0 \\ 0 & \mu_2 & & \vdots \\ \vdots & & \ddots & 0 \\ 0 & \cdots & 0 & \mu_R \end{bmatrix} \cdot \begin{bmatrix} \ddot{q}_1 \\ \ddot{q}_2 \\ \vdots \\ \ddot{q}_R \end{bmatrix} + \begin{bmatrix} \Delta_{11} & 0 & \cdots & 0 \\ 0 & \Delta_{22} & & \vdots \\ \vdots & & \ddots & \vdots \\ 0 & \cdots & 0 & \Delta_{RR} \end{bmatrix} \cdot \begin{bmatrix} \dot{q}_1 \\ \dot{q}_2 \\ \vdots \\ \dot{q}_R \end{bmatrix} + \begin{bmatrix} \gamma_1 & 0 & \cdots & 0 \\ 0 & \gamma_2 & & \vdots \\ \vdots & & \ddots & 0 \\ 0 & \cdots & 0 & \gamma_R \end{bmatrix} \cdot \begin{bmatrix} q_1 \\ q_2 \\ \vdots \\ q_R \end{bmatrix} = \begin{bmatrix} r_1 \\ r_2 \\ \vdots \\ r_R \end{bmatrix}$$

Das Gleichungssystem von R gekoppelten Differentialgleichungen zerfällt somit in R einzelne Differentialgleichungen.

Modale Bewegungsgleichung

Für jede Eigenform $r = 1, 2, \dots, R$ gilt die Gleichung des gedämpften Einmassenschwingers:

$$\mu_r \ddot{q}_r + \Delta_{rr} \dot{q}_r + \gamma_r q_r = r_r \quad (9)$$

Division durch μ_r ergibt

$$\ddot{q}_r + \frac{\Delta_{rr}}{\mu_r} \dot{q}_r + \underbrace{\frac{\gamma_r}{\mu_r}}_{\omega_r^2} q_r = \frac{r_r}{\mu_r} \quad (10)$$

Unter Verwendung des dimensionslosen modalen Dämpfungsmaßes

$$\xi_r = \frac{\Delta_{rr}}{2\mu_r\omega_r} \quad \text{analog zu: } D = \frac{c}{2m\omega} \quad (11)$$

folgt die eindimensionale modale Bewegungsgleichung

$$\ddot{q}_r + 2\omega_r\xi_r\dot{q}_r + \omega_r^2 q_r = \frac{r_r}{\mu_r} \quad (12)$$

Modale Bewegungsgleichung

Anmerkungen

- Gl. (12) kann mit klassischen Lösungsverfahren des Einmassenschwingers gelöst werden
- Jede Eigenform kann unterschiedlich gedämpft werden
- Das modale Dämpfungsmaß ξ_r kann mit Hilfe experimenteller Modalanalyse versuchstechnisch bestimmt werden

Vorteile des Verfahrens der modalen Superpositionen

- 1.) Reduktion der Systemgleichungen der Ordnung N auf einen Unterraum der Größe R
- 2.) Entkopplung der Systemgleichungen mit Hilfe der Bequemlichkeits-hypothese, Zerfall in R entkoppelte Differentialgleichungen

Rayleigh-Dämpfung

In Kapitel 3 wurde die Rayleigh-Dämpfung eingeführt:

$$\mathbf{C} = \alpha \cdot \mathbf{M} + \beta \cdot \mathbf{K} \quad (13)$$

Multiplikation von links mit ϕ^T und von rechts mit ϕ liefert:

$$\begin{aligned} \phi^T \mathbf{C} \phi &= \alpha \cdot \phi^T \mathbf{M} \phi + \beta \cdot \phi^T \mathbf{K} \phi \\ \Delta &= \alpha \cdot \mu + \beta \cdot \gamma = \text{diag}(\Delta_{rr}) \end{aligned} \quad (14)$$

→ Rayleigh-Dämpfung *unterstellt* Bequemlichkeitshypothese mit

$$\Delta_{rr} = \alpha \cdot \mu_r + \beta \cdot \gamma_r \quad (15)$$

Mit Gl. (11) ergibt sich (**Zeigen Sie!**)

$$\xi_r = \frac{\alpha}{2\omega_r} + \frac{\beta \omega_r}{2} \quad (16)$$

Rayleigh-Dämpfung

Bestimmung der Rayleigh-Koeffizienten:

$$\xi_1 = \frac{\alpha}{2\omega_1} + \frac{\beta\omega_1}{2}$$

$$\xi_2 = \frac{\alpha}{2\omega_2} + \frac{\beta\omega_2}{2}$$

$$\vdots$$

$$\xi_R = \frac{\alpha}{2\omega_R} + \frac{\beta\omega_R}{2}$$

$$\underbrace{\begin{bmatrix} 1/2\omega_1 & \omega_1/2 \\ 1/2\omega_2 & \omega_2/2 \\ \vdots & \vdots \\ 1/2\omega_R & \omega_R/2 \end{bmatrix}}_{\mathbf{A}} \cdot \underbrace{\begin{bmatrix} \alpha \\ \beta \end{bmatrix}}_{\mathbf{x}} = \underbrace{\begin{bmatrix} \xi_1 \\ \xi_2 \\ \vdots \\ \xi_R \end{bmatrix}}_{\mathbf{b}}$$

Auflösen des Gleichungssystems mit der Gaußschen Methode der kleinsten Fehlerquadrate (engl. "least squares approximation") liefert

$$\mathbf{A}^T \mathbf{A} \mathbf{x} = \mathbf{A}^T \mathbf{b} \quad (17)$$

Anfangsbedingungen

Physikalische Anfangsbedingungen:

$$\mathbf{U}_0 = \mathbf{U}(t = 0) \quad (18)$$

$$\dot{\mathbf{U}}_0 = \dot{\mathbf{U}}(t = 0) \quad (19)$$

Transformation auf modale Koordinaten mit dem Ansatz:

$$\begin{aligned} \mathbf{U}_0 &= \boldsymbol{\phi} \mathbf{q}_0 & | \text{v.l. } \boldsymbol{\phi}^{-1} \\ \boldsymbol{\phi}^{-1} \mathbf{U}_0 &= \mathbf{q}_0 \end{aligned} \quad (20)$$

Nebenrechnung:

$$\begin{aligned} \boldsymbol{\mu} &= \boldsymbol{\phi}^T \mathbf{M} \boldsymbol{\phi} & | \text{v.l. } \boldsymbol{\mu}^{-1} \\ \mathbf{I} &= \boldsymbol{\mu}^{-1} \boldsymbol{\phi}^T \mathbf{M} \boldsymbol{\phi} & | \text{v.r. } \boldsymbol{\phi}^{-1} \\ \boldsymbol{\phi}^{-1} &= \boldsymbol{\mu}^{-1} \boldsymbol{\phi}^T \mathbf{M} \end{aligned} \quad (21)$$

Anfangsbedingungen

Durch Einsetzen von Gl. (21) in Gl. (20) folgt:

$$\boldsymbol{\mu}^{-1} \boldsymbol{\phi}^T \mathbf{M} \mathbf{U}_0 = \mathbf{q}_0 \quad (22)$$

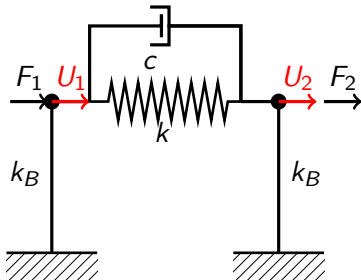
Die Anfangsbedingungen zur Lösung von Gl. (12) ergeben sich somit zu

$$q_{0,r} = \frac{1}{\mu_r} \mathbf{x}_r^T \mathbf{M} \mathbf{U}_0 \quad (23)$$

$$\dot{q}_{0,r} = \frac{1}{\mu_r} \mathbf{x}_r^T \mathbf{M} \dot{\mathbf{U}}_0 \quad (24)$$

Beispiel

Übungsbeispiel:



Systemmatrizen:

$$\mathbf{C} = c \begin{bmatrix} 1 & -1 \\ -1 & 1 \end{bmatrix}$$

$$\boldsymbol{\mu} = \begin{bmatrix} 2m & 0 \\ 0 & 2m \end{bmatrix}$$

$$\boldsymbol{\gamma} = \begin{bmatrix} 2k_B & 0 \\ 0 & 2k_B + 4k \end{bmatrix}$$

$$\boldsymbol{\phi} = \begin{bmatrix} 1 & -1 \\ 1 & 1 \end{bmatrix}$$

Aufgabe:

- Berechnen Sie die modale Dämpfungsmatrix $\boldsymbol{\Delta}$, die modalen Dämpfungsparameter ξ_r und den modalen Lastvektor \mathbf{r}
- Stellen Sie die modalen Bewegungsgleichungen nach Gl. (12) auf

Beispiel

Berechnung der modalen Dämpfungsmatrix:

$$\mathbf{\Delta} = \boldsymbol{\phi}^T \mathbf{C} \boldsymbol{\phi} = \begin{bmatrix} 1 & 1 \\ -1 & 1 \end{bmatrix} \cdot \begin{bmatrix} c & -c \\ -c & c \end{bmatrix} \cdot \begin{bmatrix} 1 & -1 \\ 1 & 1 \end{bmatrix} = 4c \begin{bmatrix} 0 & 0 \\ 0 & 1 \end{bmatrix}$$

Keine weitere Annahme nötig, da $\mathbf{\Delta}$ bereits diagonal ist.

Berechnung der modalen Dämpfungsparameter:

$$\xi_1 = \frac{\Delta_{11}}{2\mu_1\omega_1} = 0$$

$$\xi_2 = \frac{\Delta_{22}}{2\mu_2\omega_2} = \frac{4c}{2 \cdot 2m \cdot \omega_2} = \frac{c}{m\omega_2}$$

Berechnung des modalen Lastvektors:

$$\mathbf{r} = \boldsymbol{\phi}^T \mathbf{F} = \begin{bmatrix} 1 & 1 \\ -1 & 1 \end{bmatrix} \cdot \begin{bmatrix} F_1 \\ F_2 \end{bmatrix} = \begin{bmatrix} F_1 + F_2 \\ -F_1 + F_2 \end{bmatrix}$$

Beispiel

Durch Einsetzen in Gl. (12) folgt für $r = 1$:

$$\ddot{q}_1 + \omega_1^2 q_1 = \frac{1}{2m} (F_1 + F_2)$$

und für $r = 2$:

$$\ddot{q}_2 + \frac{2c}{m} \dot{q}_2 + \omega_2^2 q_2 = \frac{1}{2m} (-F_1 + F_2)$$

Die physikalische Antwort im Zeitbereich ergibt sich durch Einsetzen von q_1 und q_2 in Gl. (2) zu:

$$\mathbf{U}(t) = \mathbf{X}_1 \cdot q_1(t) + \mathbf{X}_2 \cdot q_2(t) \quad (25)$$

Freie Schwingungen

Betrachtet wird das Problem der freien Schwingung mit

$$\mathbf{F}(t) = \mathbf{0}; \quad \mathbf{U}_0 \neq \mathbf{0}; \quad \dot{\mathbf{U}}_0 \neq \mathbf{0} \quad (26)$$

Aus Gl. (12) folgt:

$$\ddot{q}_r + 2\omega_r \xi_r \dot{q}_r + \omega_r^2 q_r = 0 \quad (27)$$

Lösungsansatz für den gedämpfte Einmassenschwinger war:

$$u(t) = e^{-\delta t} (A \cdot \cos(\omega_d t) + B \cdot \sin(\omega_d t)) \quad (28)$$

Hier analog:

$$q_r(t) = e^{-\delta_r t} (q_{A,r} \cdot \cos(\omega_{d,r} t) + q_{B,r} \cdot \sin(\omega_{d,r} t)) \quad (29)$$

mit:

$$\delta_r = \xi_r \omega_r \quad (30)$$

$$\omega_{d,r} = \omega_r \sqrt{1 - \xi_r^2} \quad (31)$$

Freie Schwingungen

Bestimmung der Koeffizienten $q_{A,r}$ und $q_{B,r}$ aus den modalen Anfangsbedingungen:

$$q_r(t=0) = q_{0,r} \Rightarrow q_{A,r} = q_{0,r} \quad (32)$$

$$\dot{q}_r(t=0) = \dot{q}_{0,r} = -q_{A,r} \cdot \delta_r + q_{B,r} \cdot \omega_{d,r} \quad (33)$$

$$\Rightarrow q_{B,r} = \frac{q_{0,r} \cdot \delta_r + \dot{q}_{0,r}}{\omega_{d,r}} \quad (34)$$

Einsetzen ergibt:

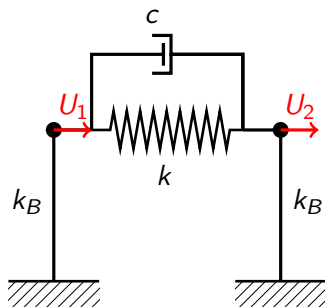
$$q_r(t) = e^{-\delta_r t} \left(q_{0,r} \cdot \cos(\omega_{d,r} t) + \frac{q_{0,r} \cdot \delta_r + \dot{q}_{0,r}}{\omega_{d,r}} \cdot \sin(\omega_{d,r} t) \right) \quad (35)$$

Verschiebung im Zeitbereich:

$$\mathbf{U}(t) = \sum_r \mathbf{X}_r \cdot q_r(t) \quad (36)$$

Beispiel

Übungsbeispiel:



Systemmatrizen siehe Folie 13.

Eigenkreisfrequenzen:

$$\omega_1^2 = \frac{k_B}{m}; \quad \omega_2^2 = \frac{k_B + 2k}{m}$$

Anfangsbedingungen:

$$\mathbf{u}_0 = \begin{bmatrix} U_{01} \\ U_{02} \end{bmatrix}; \quad \dot{\mathbf{u}}_0 = \begin{bmatrix} 0 \\ 0 \end{bmatrix}$$

Annahme für modale Dämpfungsparameter:

$$\xi_1 = 0,02$$

$$\xi_2 = 0,02$$

Beispiel

Anfangsbedingungen:

$$\mathbf{U}_0 = \begin{bmatrix} U_{01} \\ U_{02} \end{bmatrix}; \dot{\mathbf{U}}_0 = \begin{bmatrix} 0 \\ 0 \end{bmatrix}$$

Aus dem Modalansatz nach Gl. (36) folgt:

$$\begin{aligned} \mathbf{U}(t) &= \mathbf{X}_1 \cdot q_1(t) + \mathbf{X}_2 \cdot q_2(t) \\ \begin{bmatrix} U_1 \\ U_2 \end{bmatrix} &= \begin{bmatrix} 1 \\ 1 \end{bmatrix} \cdot q_1(t) + \begin{bmatrix} -1 \\ 1 \end{bmatrix} \cdot q_2(t) \end{aligned}$$

Somit ergibt sich die physikalische Antwort des Systems zu:

$$U_1(t) = q_1(t) - q_2(t)$$

$$U_2(t) = q_1(t) + q_2(t)$$

Beispiel

Berechnung der modalen Anfangsbedingungen aus Gl. (23):

$$q_{0,1} = \frac{1}{\mu_1} \mathbf{x}_1^T \mathbf{M} \mathbf{U}_0 = \frac{1}{2m} \begin{bmatrix} 1 & 1 \end{bmatrix} \begin{bmatrix} m & 0 \\ 0 & m \end{bmatrix} \begin{bmatrix} U_{01} \\ U_{02} \end{bmatrix}$$

$$q_{0,1} = \frac{1}{2} (U_{01} + U_{02})$$

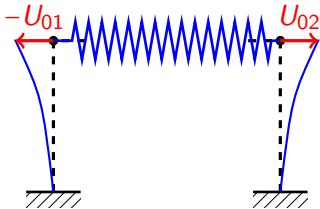
$$q_{0,2} = \frac{1}{\mu_2} \mathbf{x}_2^T \mathbf{M} \mathbf{U}_0 = \frac{1}{2m} \begin{bmatrix} -1 & 1 \end{bmatrix} \begin{bmatrix} m & 0 \\ 0 & m \end{bmatrix} \begin{bmatrix} U_{01} \\ U_{02} \end{bmatrix}$$

$$q_{0,2} = \frac{1}{2} (-U_{01} + U_{02})$$

Da $\dot{\mathbf{U}}_0 = \mathbf{0}$, folgt $\dot{q}_{0,1} = \dot{q}_{0,2} = 0$

Beispiel

Fallunterscheidung: 1.) $-U_{01} = U_{02}$



$$q_{0,1} = 0 \rightarrow q_1(t) = 0$$

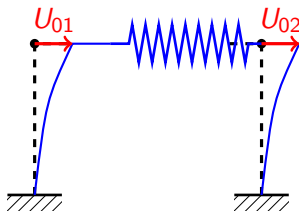
$$q_{0,2} = U_{02} \rightarrow q_2(t) = U_{02} \cdot e^{-\delta_2 t} \left(\cos(\omega_{d,2} t) + \frac{\delta_2}{\omega_{d,2}} \cdot \sin(\omega_{d,2} t) \right)$$

\Rightarrow 1. Eigenform wird nicht angeregt, die Struktur antwortet nur in der 2. Eigenform:

$$U_1(t) = -q_2(t) \quad U_2(t) = q_2(t)$$

Beispiel

Fallunterscheidung: 2.) $U_{01} = U_{02}$



$$q_{0,2} = 0 \rightarrow q_2(t) = 0$$

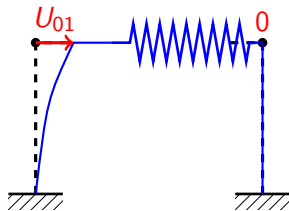
$$q_{0,1} = U_{01} \rightarrow q_1(t) = U_{01} \cdot e^{-\delta_1 t} \left(\cos(\omega_{d,1} t) + \frac{\delta_1}{\omega_{d,1}} \cdot \sin(\omega_{d,1} t) \right)$$

\Rightarrow 2. Eigenform wird nicht angeregt, die Struktur antwortet nur in der 1. Eigenform:

$$U_1(t) = q_1(t); \quad U_2(t) = q_1(t)$$

Beispiel

Fallunterscheidung: 3.) $U_{01} \neq 0$; $U_{02} = 0$



$$q_{0,1} = \frac{1}{2} U_{01} \rightarrow q_1(t) = \frac{1}{2} U_{01} \cdot e^{-\delta_1 t} \left(\cos(\omega_{d,1} t) + \frac{\delta_1}{\omega_{d,1}} \cdot \sin(\omega_{d,1} t) \right)$$

$$q_{0,2} = -\frac{1}{2} U_{01} \rightarrow q_2(t) = -\frac{1}{2} U_{01} \cdot e^{-\delta_2 t} \left(\cos(\omega_{d,2} t) + \frac{\delta_2}{\omega_{d,2}} \cdot \sin(\omega_{d,2} t) \right)$$

⇒ Beide Eigenformen werden angeregt, die Struktur antwortet somit in beiden Eigenformen.

Erzwungene Schwingungen

Bei der erzwungenen Schwingung gilt

$$\mathbf{F}(t) \neq \mathbf{0}$$

Die Lösung der inhomogenen DGL

$$\ddot{q}_r + 2\omega_r \xi_r \dot{q}_r + \omega_r^2 q_r = \frac{r_r}{\mu_r}$$

setzt sich zusammen aus der Lösung der homogenen DGL nach Gl. (35) und einer Partikulärlösung:

$$q_r(t) = q_{r,hom}(t) + q_{r,part}(t)$$

In der Regel wird die partikuläre Lösung vom FE-Programm numerisch gelöst, z.B. mit dem Newmark-Verfahren

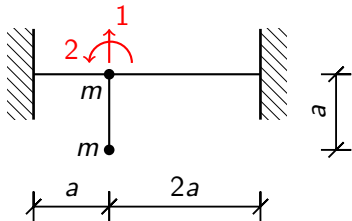
Erzwungene Schwingungen

Empfehlungen für die Praxis

- Bei freien Schwingungen:
Mitnahme aller relevanten Eigenformen, so dass ca. 90% der zugehörigen effektiven Massen im Ansatz enthalten sind
- Bei erzwungenen Schwingungen:
Zusätzliche Mitnahme aller Eigenformen bis zur **vierfachen** Erregerfrequenz (kann direkt aus harmonischer Anregung oder über eine FFT ermittelt werden)

Hausaufgabe

Gegeben ist ein System mit 2 Freiheitsgraden:



Systemgrößen:

$$a = 1,0 \text{ m}$$

$$m = 10 \text{ kg}$$

$$EI = 10000 \text{ Nm}^2$$

$$\xi_1 = \xi_2 = 0,02$$

Die zugehörigen Systemmatrizen lauten:

$$\mathbf{K} = \frac{EI}{a^3} \cdot \begin{bmatrix} 13,5 & -4,5a \\ -4,5a & 6a^2 \end{bmatrix}$$

$$\mathbf{M} = \begin{bmatrix} 2m & 0 \\ 0 & m \cdot a^2 \end{bmatrix}$$

Hausaufgabe

Die Eigenfrequenzanalyse ergibt folgende Größen:

$$\omega_1 = 56,3$$

$$\omega_2 = 97,9$$

$$\phi = \begin{bmatrix} 1 & 1 \\ 1,59/a & -1,26/a \end{bmatrix}; \quad \mu = \begin{bmatrix} 45,3 & 0 \\ 0 & 35,9 \end{bmatrix}$$

Aufgabe:

- Berechnen Sie mit Hilfe modaler Superposition die Antwort im Zeitbereich für die Freiheitsgrade 1 und 2 für eine beliebig gewählte Anfangsauslenkung
- Stellen Sie die Lösung in Matlab graphisch dar